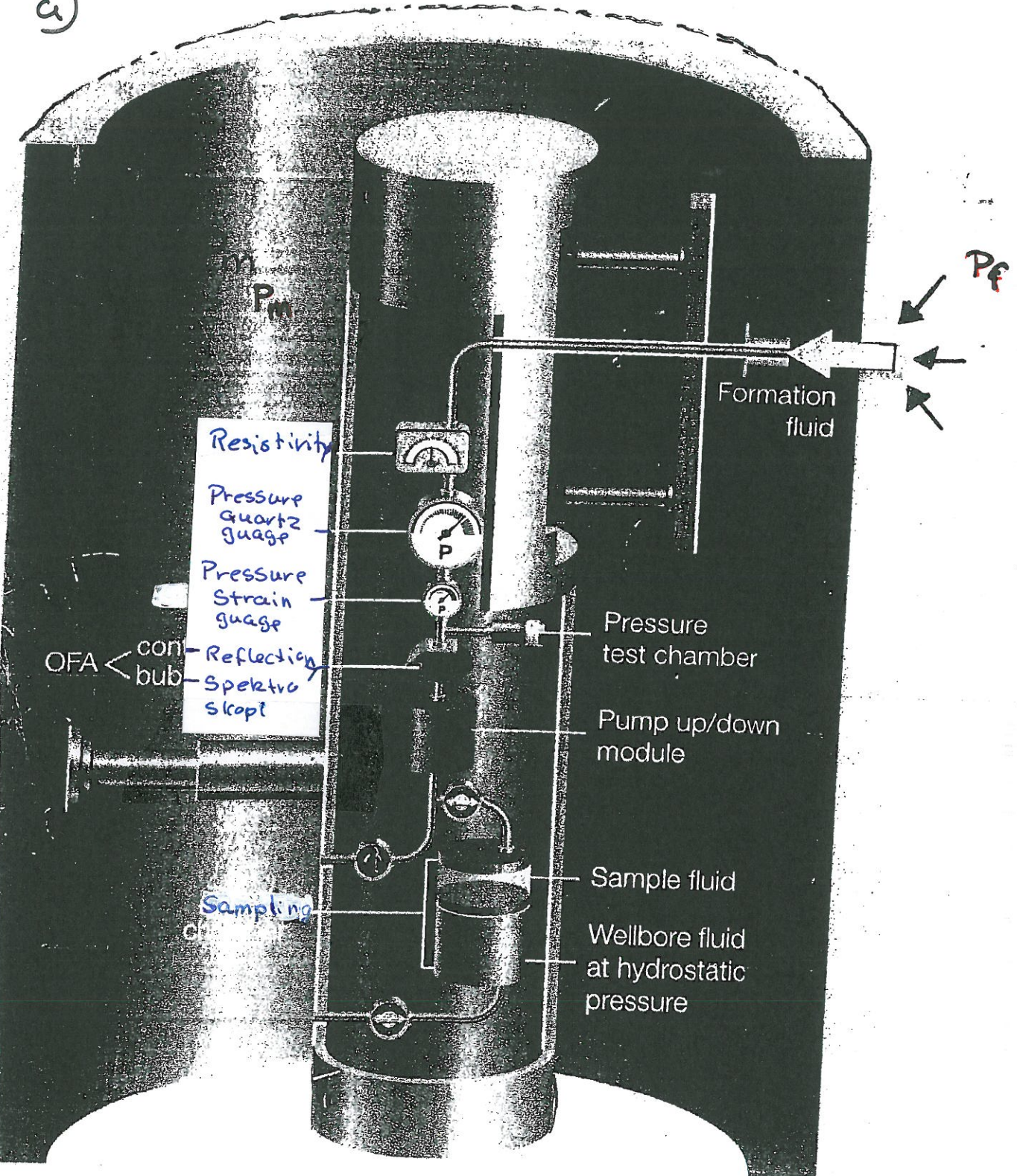


Oppgave 1

## KABELTESTING

MDT

a)



open valve

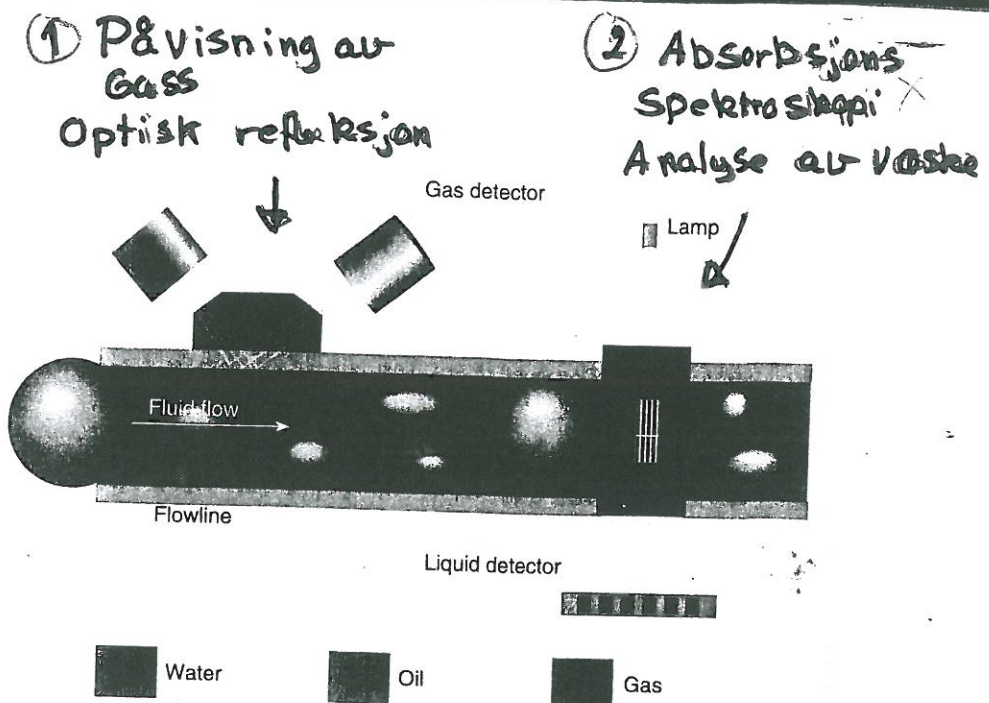
closed valve

# OFA

## Optical Fluid Analysis

b)

Figure 4-35. The OFA module with its two sensor systems: one for liquid detection and analysis and the other for gas detection.



### Optisk refleksjon

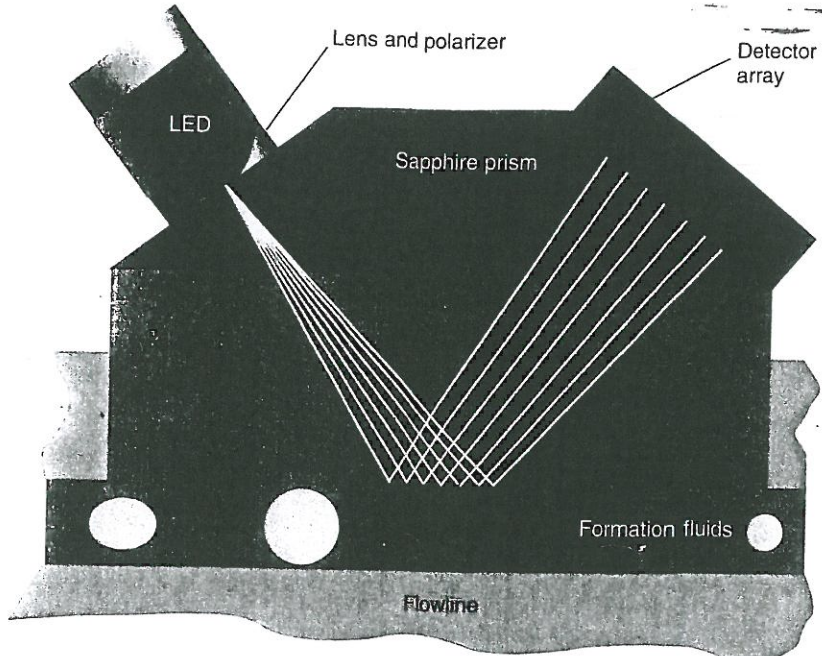


Figure 10-8. Basic gas detector design.

At present, water holdup is calculated directly from the calibrated responses of the detectors tuned to the two water peaks relative to those tuned to wavelengths at which water has very little absorbance. Subtraction from unity then gives hydrocarbon holdup. In addition, the log presents an oil indicator by shading the separation between the output of the detector tuned to the oil peak and the output of the detector tuned to a wavelength between the oil peak and the 1450-nm water peak. The magnitude of the

## Dual packer module

The dual packer module, schematically shown in Fig. 4-24, provides two inflatable packer elements to isolate a borehole interval for testing and/or sampling. The pumpout module uses borehole fluid to inflate the packer elements to about 1000 psi above hydrostatic pressure. Spacing between the packer elements varies with hole size, but the minimum distance is about 3 ft [92 cm]. The entire borehole wall is open to the formation, so the fluid flow area is several thousand times larger than with conventional probes. The dual packer module can be used as an alternative to conventional probes.

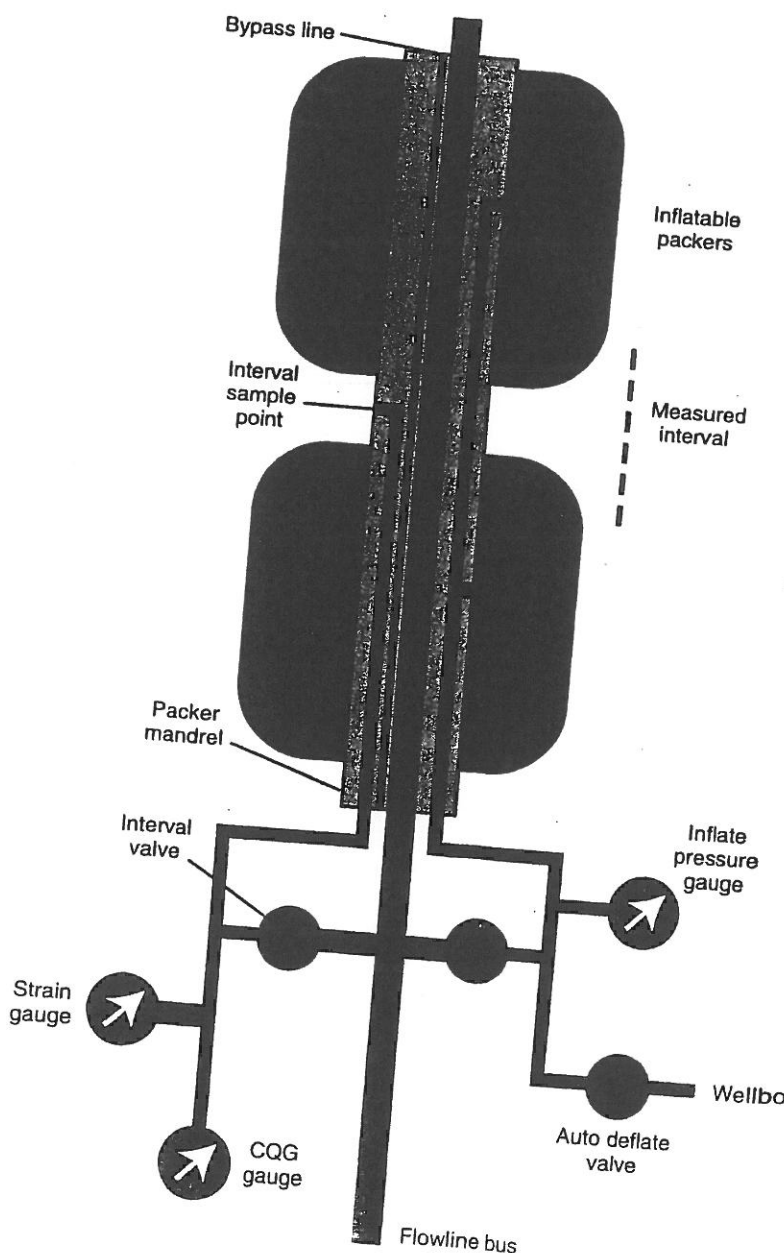
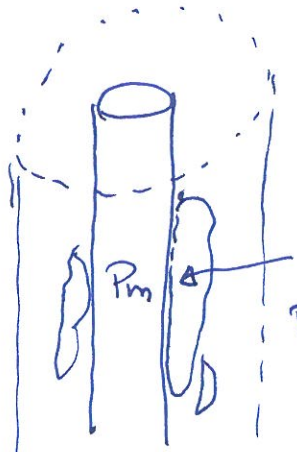


Figure 4-24. Dual packer module used to isolate an interval for testing and/or sampling.

d) Supercharge, Nesten tett formasjon



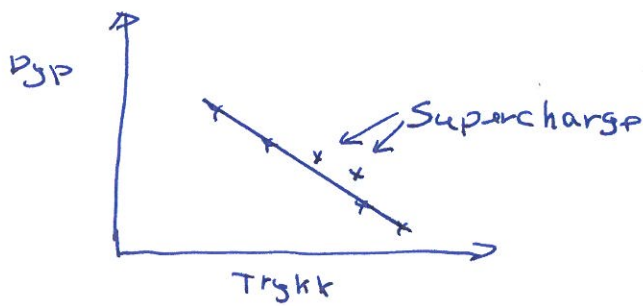
P.g.a nesten tett formasjon

Kan vi få lokalt løsning

når trykket er større enn  $P_f$

som mudfiltrat bygger opp (supercharge)

Pa trykksplottet vi det vises som 2-10 bar  
høyere trykk enn de andre punktene



e)

Kabel / MWD testing

## vs. Produksjons testing (DST)

①	+ Lite riggtid + Lav pris max 1 dagn	÷ Høy pris 2-3 uker
②	+ Liten/ingen forurensning	÷ Større forurensning må brenne gasser
③	+ Gir mest nøyaktig trykkverdier $\pm 0.02$ bar	÷ Mer uregelmessige trykkverdier
④	+ Tar mange trykkpunkter Opp til 50, tester mange soner God vertikal opplosning	Tar kun én til to soner (snittverdi)
⑤	+ Kan ta mange vøskeprøver fra forskjellige soner, over 20	- Tar kun fra en el. 2 soner
⑥	+ Tar nedihull vøskeprøver Kan isolere prøven på flaske under høyt trykk.	. Tar vøskeprøven på overflaten . Gassen i olje forstrinnes
⑦	+ Mobilitet/permeabilitet fra hvert trykkpunkt gir en god bestemmelser hvordan mobilitet/perm varierer gjennom hele reservoaret Skiller godt mellom tett, nesten tett og perm form $\Rightarrow$ Net Sand	÷ Bestemmer ikke snitt verdi over permeabilitet fra en til to soner

①	÷ Permeabilitetsmålingene er noe uregelmessige	+ Gir en god snitt permeabilitet for en hel sone som er viktig for den virkelige produksjon
②	÷ Ser bare litt inn i formasjonen rundt brønnen	+ Ser dyptere inn i formasjonen
③	- Kan ikke se barrierer og væsketeknakter fra kun en test	+ Ser barrierer og væsketeknakter fra en prod test
④		+ Interferens-test: Produserer i en brønn og måler trykkvariasjonen i en annen brønn + Preprodensjon, Ser hva som faktisk kommer ut av reservoar sonen

## Oppgave 2

### a) Dårlig hull, utvasking

1) Borevasker / tilsetningsstoffer hindre dårlig hull

- Oljeslam ofte bedre enn vannbasert slam.

- KCL ~~≠~~ i vannbasert slam, ungt lar saltholdig kex

2) De wireline loggene som gir inn til hullet

- Tettkretslogg

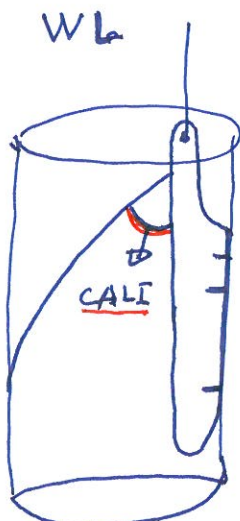
- Nagtronlogg

- Mikromatsstandsloggene,  $R_{xc}$

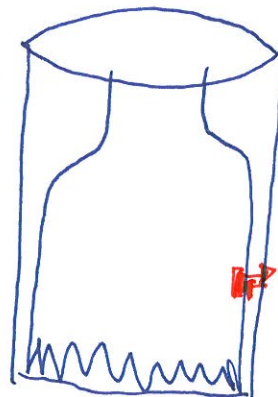
3) Ved MWD logger vi rett bak borekronen og hullkvaliteten er vanligvis bra.

Ved WL logger vi ~~venn~~<sup>1-2</sup> dager etterpå vi har boret og bronnen kan være utvasket / dårlig hullkvalitet etter sirkulering av mud i 1-2 dager

4)



MWD



Ultra sonic  
↓  
Caliper

## b) Permeabilitet (uten fra lejorke)

- Produksjontesting (DST) gir  $k$  og permeabiliteten fra produksjonskurven
- WL/MWD testing gir permeabiliteten fra punktet som blir testet
- Fra Stanleg delgen (sonic logg) og NMR
- Påvisning permeable soner fra: ① SP-logg ② Caliper/mudkake ③ Rt/Rxo separasjon

I sandsteinen er det kornstørrelse og porevolum som styrer permeabiliteten. Liten kornstørrelse gir lav  $k$ .

I kalkstein er matrikspermeabiliteten ikke  
poresifelen må være over 20% for at permeabiliteten  $> 1 \text{ mD}$ .  
Permeabiliteten fra sprekker blir her det  
viktigste

$S_w^g$  - vannmetning fra kapillærtetrykk innår  
permeabiliteten fra formelen for  $y$

$$y = \text{konst.} \cdot \sqrt{\frac{k}{\phi}}$$

Generelt:  $L \propto \phi$

Liten kornstørrelse  $\Rightarrow$  Lav permeabilitet og høy vannneth.

### Oppgave 3

- a) Litologien er tegnet direkte inn på loggen  
Dårlig hull er markert med gult.

b) ① Trykkplot viser barrierer mellom sone A og B.

② Saltholdighet til formasjonsvannet i A og B.

I Saltholdighet sone A er gitt i oppgaven

$$R_w = 0.04 \text{ ved } 80^\circ\text{C} \Rightarrow \text{Plot sist vedlegg} = \underline{\underline{77000 \text{ ppm}}}$$

II Saltholdighet sone B

Anta ren sone B

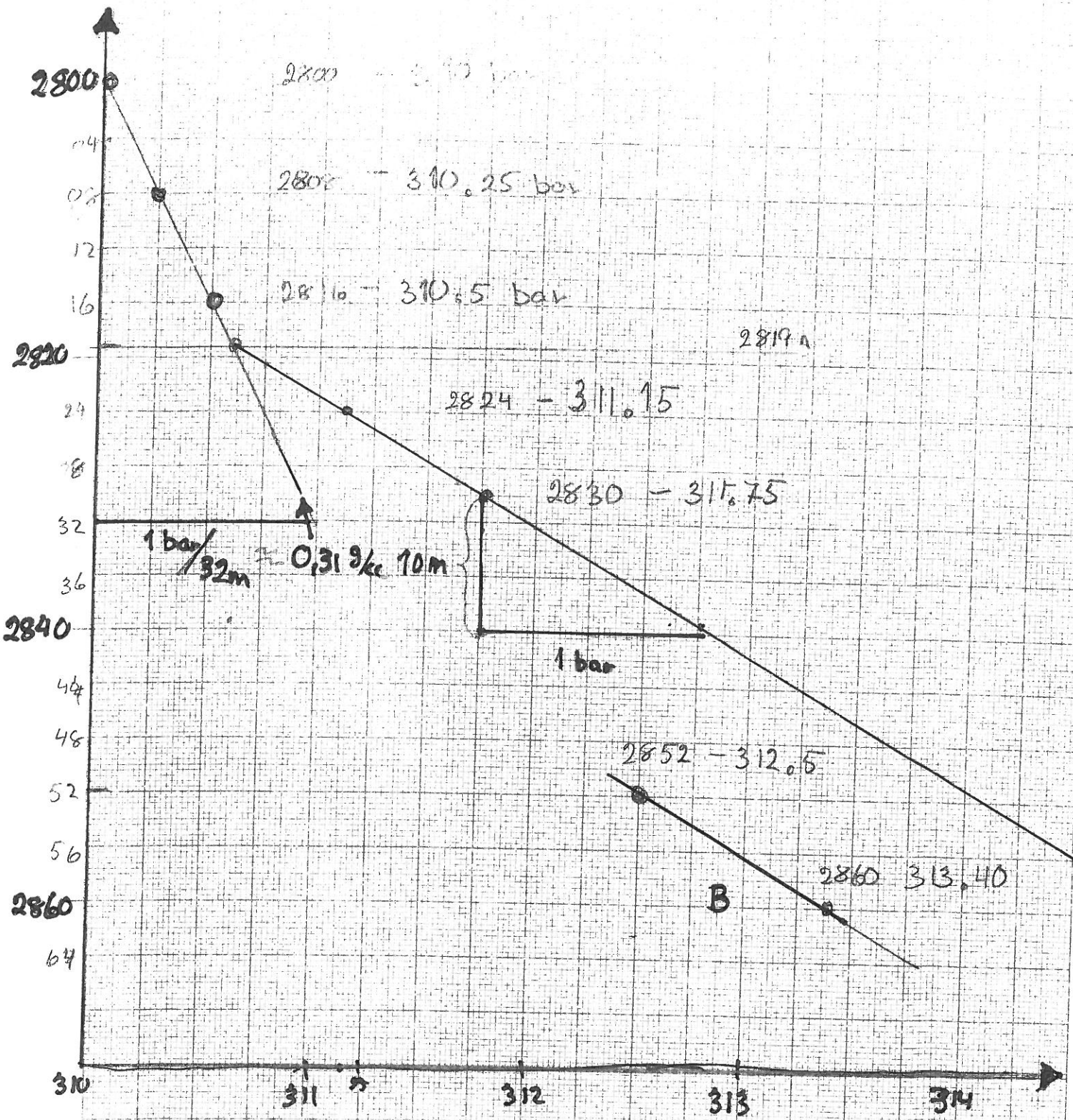
$$P_b = 2.35, Q_h = 0.16 \Rightarrow Q = 0.20 \text{ (vedlagt krossplot)}$$

$$R_o = 0.7 \quad R_w = \frac{R_o}{F} = \frac{0.7}{\frac{0.62}{0.20^{2.15}}} = \frac{0.7}{19.73} = 0.035$$

↓

$$\underline{\underline{90000 \text{ ppm}}}$$

Litt for lite forskjell i saltholdighet til å påvise barrierer



Tryptindata  $\Rightarrow$  Barriere mellem A og B

3a

c) Trykkedata og Logg er gir nævøende GWC = 2819,5 m

Vurder om dybde 2826 m kan være opprinnelig kontakten?

2819

↓ Residuell HC

2826

↓ Residuell HC eller vannsone ( $S_w = 1$ )

2830

Hvis  $S_w = 1$  (2826-2830) er dette en ren vannsone hvor HC ikke har kommet inn og 2826 blir opprinnelig GWL

~~Skj~~

Beregner  $S_w$  (2826-2830) uten sand.  $S_w$  fra Indonesia libn.  
Bruker snittverdier

Bruker kun  
GR for Vcl

Sone	GR	$P_b$	$\varphi_N$	$R_t$	$\varphi_b$	$\varphi_N$	$V_{CLGR}$	$\varphi_{DC}$	$\varphi_{NC}$	$\varphi$	$S_w$
2826-2830	42	2,38	0,18	0,17	0,17	0,32	0,34	0,15	0,13	0,145	≈ 1

$$V_{cl, GR} = \frac{40-20}{85-20} = 0,34$$

$$\begin{aligned} GR_{min} &= 20 \\ GR_{max} &= 85 \end{aligned}$$

$$R_{BL} = 2$$

$$\begin{aligned} D_{CL} &= 2,55 \\ ss &= 0,27 \end{aligned}$$

$$\varphi_b = \frac{2,65 - 2,38}{2,65 - 1,1} = 0,17$$

$$\varphi_{DC} = \varphi_b - V_{cl} \cdot \varphi_{DC} = 0,15$$

$$\varphi = \frac{7 \times 0,15 + 2 \times 0,13}{9} = 0,145$$

$$\varphi_{NS} = 0,18 + 0,04$$

$$\varphi_{NC} = \varphi_N - V_{cl} \cdot \varphi_{NC} = 0,13$$

Indonesia libn.  $\Rightarrow S_w = 0,97 \approx 1,0$

Sone 2826-2830 har alltid vært fylt med vann

$\Rightarrow$  Opprinnelig GWC = 2826

d)

Shr mellom 2819 og 2826

$$P_b = 2.3 \quad \varphi_h = 0.15 \Rightarrow \varphi = 0.20 \quad \text{Fra } P_b - \varphi_h \\ R_t = 2 \quad \text{kræss pboff}$$

$$S_{nr} = 1 - S_w = 1 - \sqrt{\frac{F \cdot R_w}{R_t}} = \sqrt{\frac{\frac{0.62}{0.2^{2.15} \cdot 0.04}}{2}} = \underline{\underline{0.63}} = \underline{\underline{0.37}}$$

Snitt  $\varphi$  og  $S_w$  i hele gass-skenen

$$\overline{P}_b = 2.18 \quad \overline{\varphi}_h = 0.11 (= 0.15) \\ \downarrow \\ \overline{\varphi}_b = \frac{2.65 - 2.18}{2.65 - 1.1} = 0.30$$

$\Rightarrow \overline{\varphi} = \sqrt{\frac{0.30^2 + 0.15^2}{2}} = 0.24$

$$\overline{S}_w = \sqrt{\frac{F \cdot R_w}{R_t}} = \sqrt{\frac{\frac{0.62}{0.24^{2.15} \cdot 0.04}}{90}} = \underline{\underline{0.08}}$$

$$\text{Gasskolonne} = \Delta h \cdot \varphi (1 - S_w) = 23 \text{ m} \cdot 0.24 \cdot (1 - 0.08) \\ = \underline{\underline{5.1 \text{ m}^3/\text{m}^2}}$$

The area is

e) Net Sand er produksjonsbar sand

Bruker ofte  $V_{sh} \leq 0.4$

$$k > 0.05 \text{ mD}$$

~~Alestønnhet~~

Hele sone A er Net Sand. De nedreste 4 m har

$$V_{sh} = 0.34 \text{ og ligger på grensen}$$

f) Perforering se loggene

- over GWC for å hindre vanncointing

- Høst under den tette sonen midt i reservoaret

